

НЕКОТОРЫЕ ПРОСТРАНСТВЕННЫЕ ЗАДАЧИ ТЕОРИИ  
РАВНОВЕСНЫХ ТРЕЩИН В ДЕФОРМИРУЕМОМ ХРУПКОМ ТЕЛЕ

В. В. Панасюк

(Львов)

Обзор исследований по рассматриваемой проблеме содержится в работах [1, 2].

В настоящей работе на основе исследований [3-5] развивается приближенный метод определения критических (предельных [1]) нагрузок для неограниченного хрупкого тела, ослабленного плоскими изолированными трещинами, имеющими в плане (плоскость трещины) форму, близкую к круговой, когда тело подвергнуто растяжению монотонно возрастающими нагрузками, симметричными относительно плоскости трещины. В качестве примеров рассмотрены следующие задачи: растяжение хрупкого тела с эллиптической трещиной; растяжение хрупкого тела с круглой (дискообразной) трещиной двумя сосредоточенными силами, когда линия действия этих сил не проходит через центр указанной трещины; чистый изгиб балки с эллиптической трещиной, когда трещина расположена в зоне растягивающих напряжений.

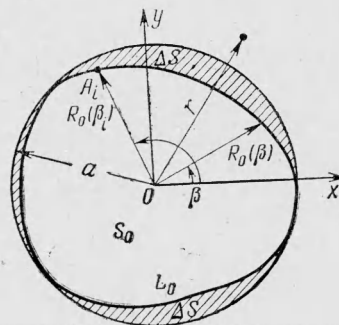
§ 1. Постановка задачи и метод ее решения. Пусть в неограниченном хрупком теле, отнесенном к прямоугольной системе декартовых координат  $Oxyz$ , содержится изолированная плоская макроскопическая трещина. Предположим, что плоскость трещины совпадает с координатной плоскостью  $z = 0$  и трещина занимает в этой плоскости некоторую ограниченную область  $S_0$ . Опишем около области  $S_0$  в плоскости  $z = 0$  окружность радиусом  $a$  (фиг. 1) и будем считать, что начало координат системы  $Oxyz$  находится в центре этой окружности. Обозначим далее через  $R_0(\beta)$  радиус-вектор контура  $L_0$  области  $S_0$ , где  $\beta$  — полярный угол, показанный на фиг. 1. Тогда функция

$$\varepsilon(\beta) = a - R_0(\beta) \quad (1.1)$$

представляет собой неотрицательную, ограниченную и периодическую функцию с периодом  $2\pi (0 \leq \beta \leq 2\pi)$ .

Пользуясь выражением функции (1.1), дадим следующее определение: трещина  $S_0$ , ограниченная контуром  $L_0$  (фиг. 1), называется близкой по форме к круговой, если  $\max \varepsilon(\beta)$  есть величина малая по сравнению с величиной  $a$ , т. е. если  $\max \varepsilon(\beta)$  мало по сравнению с радиусом окружности, описанной около контура  $L_0$  в плоскости трещины.

Предположим теперь, что хрупкое тело, содержащее внутреннюю трещину, близкую по форме к круговой (фиг. 1), растягивается монотонно возрастающими усилиями  $Q$ , направленными симметрично относительно плоскости трещины. Определим для такого случая наименьшее значение усилий  $Q$ , по достижению которого трещина с контуром  $L_0$  придет в состояние подвижного равновесия [1], хотя бы в одной точке этого контура, т. е. определим наименьшее значение нагрузки  $Q = Q_*$ , по достижению которой трещина, близкая по форме к круговой, начинает распространяться по сечению тела. Такая нагрузка  $Q_*$  называется критической или предельной нагрузкой.



Фиг. 1

Для определения значений нагрузки  $Q = Q_*$  для трещины, имеющей форму, близкую к круговой, воспользуемся некоторыми результатами исследований Г. И. Баренблатта [1, 3]. В упомянутых исследованиях показано, что для хрупкого тела с плоской макроскопической трещиной внешние усилия (симметричные относительно плоскости трещины) будут критическими (предельными), если разрывающие упругие напряжения  $\sigma_z(x, y, 0)$ , вызванные этими усилиями, растут в окрестности контура трещины по закону

$$\frac{K}{\pi \sqrt{s}} \quad \text{при } s \rightarrow 0 \quad \left( K = \sqrt{\frac{\pi E \gamma}{1 - \nu^2}} \right) \quad (1.2)$$

Здесь  $s = s(\beta)$  — расстояние точек тела, расположенных в плоскости трещины, от контура трещины;  $K$  — постоянная материала;  $E$  — модуль Юнга;  $\nu$  — коэффициент Пуассона;  $\gamma$  — плотность энергии разрушения (поверхностная энергия) материала.

Пользуясь этими результатами, для определения значений нагрузки  $Q = Q_*$  получим следующее равенство:

$$\lim_{s \rightarrow 0} \{ \sqrt{s} \sigma_z^*(r, \beta_i, 0) \} = \frac{K}{\pi} \quad (1.3)$$

Здесь  $\sigma_z^*(r, \beta, 0)$  — разрывающие упругие напряжения  $\sigma_z(r, \beta, 0)$  при нагрузке  $Q = Q_*$  в окрестности контура трещины;  $r = r(\beta)$  — полярный радиус-вектор точек тела, расположенных в плоскости  $z = 0$ ; необходимо иметь в виду, что  $r(\beta)$  можно представить как некоторую комбинацию значений  $R_0(\beta_i)$ ,  $s(\beta_i)$  и  $\beta_i$ , где  $\beta_i$  — полярный угол некоторой фиксированной точки контура  $L_0$ .

Напряжения  $\sigma_z(r, \beta, 0)$  в окрестности трещины, имеющей в плане форму, близкую к круговой (фиг. 1), будем определять приближенно. Для этого используем идею метода, предложенного М. Я. Леоновым для определения давлений под плоским штампом, расположенным на поверхности упругого полупространства и имеющим в плане форму, близкую к круговой [4]. Согласно идее этого метода напряжения  $\sigma_z(r, \beta, 0)$  представим в таком виде

$$\sigma_z(r, \beta, 0) = \begin{cases} \sigma_z^{(0)}(r, \beta, 0) + \sigma_z^{(i)}(r, \beta, 0) & \text{при } r \geq a \\ -q(r, \beta) & \text{при } R_0(\beta) \leq r \leq a \end{cases} \quad (1.4)$$

Здесь  $\sigma_z^{(0)}(r, \beta, 0)$  — нормальные напряжения, которые возникают в плоскости  $z = 0$  упругого неограниченного тела с круглой в плане (плоскость  $z = 0$ ) трещиной радиусом  $a$ , когда к телу приложены внешние усилия  $Q$ ;  $q(r, \beta)$  — неизвестное нормальное давление в области  $\Delta S$  (фиг. 1);  $\sigma_z^{(i)}(r, \beta, 0)$  — нормальные напряжения, возникающие в плоскости  $z = 0$  при  $r \geq a$ , в результате действия давлений  $q(r, \beta)$ , приложенных на участках  $\Delta S$  поверхностей круглой трещины.

Напряжения  $\sigma_z^{(0)}(r, \beta, 0)$  для случая, когда внешние усилия  $Q$  симметричны относительно плоскости круглой трещины, вычисляются по известным формулам [6, 7]

$$\sigma_z^{(0)}(r, \beta, 0) = \frac{\psi(r, \beta)}{\sqrt{r^2 - a^2}} \quad (r \geq a) \quad (1.5)$$

Здесь  $\psi(r, \beta)$  — известная регулярная функция

$$\psi(r, \beta) = \frac{1}{\pi^2} \int_0^{2\pi} \int_0^a \frac{\sqrt{a^2 - \rho^2} [t(\rho, \alpha) + p(\rho, \alpha)] \rho d\rho d\alpha}{r^2 + \rho^2 - 2r\rho \cos(\alpha - \beta)} + \sqrt{r^2 - a^2} p(r, \beta) \quad (1.6)$$

где  $t(\rho, \alpha)$  — внешнее давление, приложенное к стенкам трещины;  $p(\rho, \alpha)$  — нормальные напряжения  $\sigma_z(\rho, \alpha, 0)$ , возникающие в сплошном (без трещины) упругом теле в плоскости  $z = 0$  в результате действия внеш-

них усилий  $Q$ , приложенных к телу вне области трещины. В дальнейшем будем считать функцию  $p(r, \alpha)$  известной.

Аналогично предыдущему напряжения  $\sigma_z^{(1)}(r, \beta, 0)$  выражаются через давление  $q(r, \beta)$  формулой

$$\sigma_z^{(1)}(r, \beta, 0) = \frac{1}{\pi^2 \sqrt{r^2 - a^2}} \int_{(\Delta S)} \int \frac{\sqrt{a^2 - \rho^2} q(\rho, \alpha) \rho d\rho d\alpha}{r^2 + \rho^2 - 2r\rho \cos(\alpha - \beta)} \quad (r \geq a) \quad (1.7)$$

На основании формул (1.4), (1.5) и (1.7) напряжения  $\sigma_z(r, \beta, 0)$  при  $r \geq a$  можно представить в следующем виде:

$$\sigma_z(r, \beta, 0) = \frac{1}{\sqrt{r^2 - a^2}} \left\{ \psi(r, \beta) + \frac{1}{\pi^2} \int_{(\Delta S)} \int \frac{\sqrt{a^2 - \rho^2} q(\rho, \alpha) \rho d\rho d\alpha}{r^2 + \rho^2 - 2r\rho \cos(\alpha - \beta)} \right\} \quad (r \geq a, R_0(\beta) \leq \rho \leq a, 0 \leq \alpha \leq 2\pi) \quad (1.8)$$

Окружность радиусом  $a$  (фиг. 1), описанная около контура  $L_0$ , расположена в области упругого материала. Следовательно, напряжения  $\sigma_z(r, \beta, 0)$  должны быть непрерывными на линии  $r=a$ . Из формулы (1.8) следует, что необходимым условием непрерывности напряжений  $\sigma_z(r, \beta, 0)$  при  $r=a$  является следующее равенство:

$$\lim_{r \rightarrow a} \left\{ \psi(r, a) + \frac{1}{\pi^2} \int_{(\Delta S)} \int \frac{\sqrt{a^2 - \rho^2} q(\rho, \alpha) \rho d\rho d\alpha}{r^2 + \rho^2 - 2r\rho \cos(\alpha - \beta)} \right\} = 0 \quad (1.9)$$

Этим равенством воспользуемся в дальнейшем для определения искомого напряжения  $\sigma_z(r, \beta, 0) = -q(r, \beta)$  в области  $\Delta S$ .

Искомое давление  $q(r, \beta)$  представим по аналогии с формулой (1.5) в следующем виде:

$$q(r, \beta) = \frac{\varphi(r, \beta)}{\sqrt{r^2 - R_0^2(\beta)}} \quad (1.10)$$

Здесь  $\varphi(r, \beta)$  — неизвестная регулярная функция; будем искать приближенное выражение для  $\varphi(r, \beta)$  с точностью до малых  $(\varepsilon(\beta)/a)^2$ .

Для этого разложим функцию  $\varphi(r, \beta)$  в ряд по степеням  $(r-a)$  в окрестности точек  $r=a$ . Тогда с точностью до  $(\varepsilon(\beta)/a)^2$  будем иметь

$$\varphi(r, \beta) = \varphi(a, \beta) + (r-a) \varphi'_r(a, \beta) \quad (1.11)$$

Кроме того, заметим, что с такой же степенью точности

$$\sqrt{\frac{a^2 - \rho^2}{\rho^2 - R_0^2(\alpha)}} \approx \left[ 1 + \frac{\varepsilon(\alpha)}{4a} \right] \sqrt{\frac{a - \rho}{\rho - R_0(\alpha)}} \quad (1.12)$$

Пользуясь теперь формулами (1.10) — (1.12) и считая контур  $L_0$  регулярным, уравнение (1.9) с точностью до малых величин  $(\varepsilon(\beta)/a)^2$  включительно можно записать так:

$$\psi(a, \beta) = -\frac{1}{\pi^2} \lim_{r \rightarrow a} \int_0^{2\pi} u(\alpha) \{ \varphi_0(\alpha) I_0(r, \alpha, \theta) + \varphi_1(\alpha) I_1(r, \alpha, \theta) \} d\alpha \quad (1.13)$$

где

$$u(\alpha) = 1 + \frac{\varepsilon(\alpha)}{4a}, \quad \varphi_0(\alpha) = \varphi(a, \alpha), \quad \varphi_1(\alpha) = \varphi'_r(a, \alpha), \quad \theta = \frac{1}{2}(\alpha - \beta)$$

$$I_0(r, \alpha, \theta) = \int_{R_0(\alpha)}^a \sqrt{\frac{a - \rho}{\rho - R_0(\alpha)}} \frac{\rho d\rho}{r^2 + \rho^2 - 2r\rho \cos 2\theta} \quad (1.14)$$

$$I_1(r, \alpha, \theta) = \int_{R_0(\alpha)}^a \sqrt{\frac{a - \rho}{\rho - R_0(\alpha)}} \frac{\rho(\rho - a) d\rho}{r^2 + \rho^2 - 2r\rho \cos 2\theta}$$

Вычислив интегралы (1.14) с точностью до величин порядка  $(\varepsilon(\beta)/a)^2$ , как это сделано в работах [4,5], и подставив полученные выражения в уравнение (1.13), а затем осуществив предельный переход при  $r \rightarrow a$  под знаком интеграла, получим с точностью до малых величин  $\varepsilon(\beta)/a$  включительно следующее уравнение для определения функции  $\varphi_0(\beta)$ :

$$\psi(a, \beta) = -\varphi_0(\beta) + \frac{1}{2} \varepsilon(\beta) \varphi_1(\beta) + \frac{1}{4\pi a} \int_0^{2\pi} \frac{d}{d\alpha} [\varepsilon(\alpha) \varphi_0(\alpha)] \operatorname{ctg} \frac{\beta - \alpha}{2} d\alpha \quad (1.15)$$

Так как уравнение (1.15) составлено с точностью до малых величин  $\varepsilon(\beta)/a$  включительно, то целесообразно решение этого уравнения искать с такой же точностью. Воспользовавшись для этого методом последовательных приближений, из уравнения (1.15) с точностью до величин  $\varepsilon(\beta)/a$  включительно получим

$$\varphi_0(\beta) = -\psi(a, \beta) - \frac{1}{2} \varepsilon(\beta) \psi'_r(a, \beta) - \frac{1}{4\pi a} \int_0^{2\pi} \frac{d}{d\alpha} [\varepsilon(\alpha) \psi(a, \alpha)] \operatorname{ctg} \frac{\beta - \alpha}{2} d\alpha \quad (1.16)$$

Таким образом, на основании равенств (1.4), (1.10), (1.11) и (1.16) получим следующую формулу для приближенного (с точностью до величин  $\varepsilon(\beta)/a$  включительно) определения напряжений  $\sigma_z(r, \beta, 0)$  в области  $\Delta S$  (фиг. 1)

$$\sigma_z(r, \beta, 0) = \frac{1}{\sqrt{r^2 - R_0^2(\beta)}} \left\{ \psi(a, \beta) + \frac{1}{2} \varepsilon(\beta) \psi'_r(a, \beta) + (r - a) \psi'_r(a, \beta) + \frac{1}{4\pi a} \int_0^{2\pi} \frac{d}{d\alpha} [\varepsilon(\alpha) \psi(a, \alpha)] \operatorname{ctg} \frac{\beta - \alpha}{2} d\alpha \right\} \quad \left( \begin{array}{l} R_0(\beta) \leq r \leq a \\ 0 \leq \beta \leq 2\pi \end{array} \right) \quad (1.17)$$

Здесь  $\psi(a, \beta)$ ,  $\psi'_r(a, \beta)$ ,  $\varepsilon(\beta)$  — известные функции.

Пользуясь теперь выражением (1.17) и равенством (1.3), можно получить после некоторых преобразований приближенное уравнение для определения критических (предельных) значений нагрузки  $Q = Q_*^{(a)}$ , по достижению которой в точках  $R_0(\beta_i)$  контура трещины  $L_0$  (фиг. 1) наступает подвижно-равновесное состояние, т. е. когда трещина в точках  $R_0(\beta_i)$  начинает распространяться по сечению тела. Это уравнение имеет следующий вид:

$$\frac{\pi}{\sqrt{2R_0(\beta_i)}} \left\{ \psi_*(a, \beta_i) - \frac{1}{2} \varepsilon(\beta_i) \psi'_{*r}(a, \beta_i) + \frac{1}{4\pi a} \int_0^{2\pi} \frac{d}{d\alpha} [\varepsilon(\alpha) \psi_*(a, \alpha)] \operatorname{ctg} \frac{\beta_i - \alpha}{2} d\alpha \right\} = K \quad (1.18)$$

Здесь обозначено через  $\psi_*(a, \beta)$  значение функции  $\psi(a, \beta)$  при нагрузке  $Q = Q_*$ .

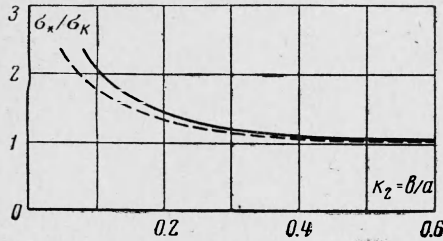
Уравнением (1.18) воспользуемся в дальнейшем для решения некоторых неосесимметричных задач теории равновесных трещин.

**§ 2. Равномерное растяжение хрупкого тела с эллиптической трещиной.** Пусть в неограниченном хрупком теле содержится плоская изолированная трещина, имеющая в плане форму эллипса, пусть такое тело растягивается в бесконечно удаленных его точках постоянными напряжениями  $\sigma_z(x, y, \infty) = \sigma_\infty$ , направленными перпендикулярно к плоскости трещины. Определим для этого случая величину предельной (критической) нагрузки  $\sigma_\infty = \sigma_*^{(b)}$ , по достижению которой контур эллиптической трещины приходит в состояние подвижного равновесия в точках, расположенных на меньшей полуоси эллипса.

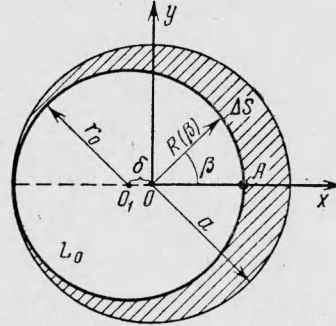
В работе [8] дано точное решение этой задачи и установлено, что

$$\sigma_*^{(b)} = E(k) \sqrt{\frac{2E\gamma}{\pi(1-\nu^2)b}} \quad \left(k^2 = \frac{a^2 - b^2}{a^2}\right) \quad (2.1)$$

где  $k^2$  — эксцентриситет эллипса;  $a, b$  — большая и меньшая полуоси эллипса;  $E(k)$  — полный эллиптический интеграл второго рода с модулем  $k$ .  
Здесь эта задача решается приближенно на основе метода, изложенного выше, и сопоставляются значения  $\sigma_*^{(b)}$ , найденные по формуле (1.18), со значениями  $\sigma_*^{(b)}$ , вытекающими из формулы (2.1).



Фиг. 2



Фиг. 3

Для рассматриваемой задачи контур трещины определяется равенством

$$R_0(\beta) = R_a(\beta) = \frac{b}{\sqrt{1 - k^2 \cos^2 \beta}} \quad \left(k^2 = \frac{a^2 - b^2}{a^2}\right) \quad (2.2)$$

Угол  $\beta$  отсчитывается от большей ( $2a$ ) оси трещины (фиг. 1). Согласно формуле (1.1) имеем

$$\varepsilon_a(\beta) = a - \frac{b}{\sqrt{1 - k^2 \cos^2 \beta}} \quad (2.3)$$

Здесь  $a$  — большая полуось эллиптической трещины и одновременно значение радиуса окружности, описанной около этой трещины.

Для рассматриваемого вида нагрузки  $\sigma_z(x, y, \infty) = \sigma_\infty = \text{const}$  по формуле (1.6) имеем

$$\psi(r, \beta) = \frac{2\sigma_\infty}{\pi} \left\{ a + \sqrt{r^2 - a^2} \left( \frac{\pi}{2} - \arcsin \frac{a}{r} \right) \right\} \quad (2.4)$$

$$\psi_*(a, \beta) = \frac{2a\sigma_*}{\pi}, \quad \psi'_{*r} = \frac{4\sigma_*}{\pi}$$

Подставив выражения (2.3) и (2.4) в уравнение (1.18) и осуществив несложные преобразования, получим

$$\sigma_*^{(\beta)} = \frac{K \sqrt{2R_0(\beta)}}{2 \{ R_0(\beta) + I(\beta) \}} \quad \left( I(\beta) = \frac{bk^2}{4\pi} \int_0^{2\pi} \frac{\sin \alpha \cos \alpha}{(1 - k^2 \cos^2 \alpha)^{3/2}} \operatorname{ctg} \frac{\beta - \alpha}{2} d\alpha \right) \quad (2.5)$$

Здесь интеграл можно представить через полные эллиптические интегралы:

$$I(\beta) = \frac{b}{\pi} \left\{ K(k) - \frac{E(k)}{1 - k^2 \cos^2 \beta} - \frac{k^2 \sin^2 \beta}{1 - k^2 \cos^2 \beta} \Pi(n, k) \right\} \quad (2.6)$$

где  $n = -1 / \cos^2 \beta$ ;  $K(k)$ ,  $E(k)$  и  $\Pi(n, k)$  — обычные обозначения полных эллиптических интегралов первого, второго и третьего рода соответственно.

Так как для рассматриваемой задачи требуется определить только значения  $\sigma_*^{(\beta)}$  при  $\beta = \pi/2$ , то на основании формул (2.6) и (2.5) легко находим

$$\sigma_*^{(\beta)} = \sigma_*^{(b)} \approx \frac{\pi \sigma_k}{\sqrt{k_1} [\pi + K(k) - E(k)]} \quad \left( k_1 = \frac{b}{a}, \sigma_k = \frac{K}{\sqrt{2a}} \right) \quad (2.7)$$

На фиг. 2 построены графики изменения  $\sigma_*^{(b)} / \sigma_k$  в зависимости от значений параметра  $k_1$ , где сплошная линия соответствует формуле (2.1), а пунктирная — формуле (2.7). Как видно из графиков фиг. 2, значения  $\sigma_*^{(b)} / \sigma_k$ , вычисленные на основе развитаемого в работе приближенного метода, находятся в хорошем соответствии с точными значениями  $\sigma_*^{(b)} / \sigma_k$ , вытекающими из формулы (2.1).

§ 3. Растяжение хрупкого тела с круглой трещиной в случае неосесимметричной нагрузки. Рассмотрим неограниченное хрупкое тело, ослабленное внутренней изолированной трещиной, имеющей в плане (плоскость  $z = 0$  на фиг. 3) форму круга радиусом  $r_0$  с центром в точке  $Q_1$ . Пусть такое тело растягивается двумя равными сосредоточенными силами  $P$ , линия действия которых проходит через некоторую точку  $O$ , отстоящую от центра трещины на расстоянии  $\delta = O_1O$  (фиг. 3). Введем систему декартовых координат  $Oxyz$ ; при этом пусть начало координат совпадает с точкой  $O$ , а ось  $x$  включает отрезок  $O_1O$ . Будем далее считать, что силы  $P$  приложены к телу в точках с координатами  $(0, 0, h)$  и  $(0, 0, -h)$ .

Требуется определить для этого случая предельное (критическое) значение сил  $P = P_*$ .

Для приближенного решения этой задачи поступим следующим образом. Проведем в плоскости  $xy$  окружность радиусом  $a = r_0 + \delta$  с центром в точке  $O$  и будем считать контур трещины  $L_0$  близким (фиг. 3) к окружности радиусом  $a$ . В полярной системе координат с центром в точке  $O$  уравнение контура  $L_0$  рассматриваемой трещины можно записать так:

$$R_0(\beta) = R(\beta) = \sqrt{r_0^2 - \delta^2 \sin^2 \beta} - \delta \cos \beta \quad (3.1)$$

где  $\beta$  — полярный угол, указанный на фиг. 3.

Тогда согласно (1.1) будем иметь

$$\begin{aligned} \varepsilon_1(\beta) &= a - R(\beta) = a - \sqrt{r_0^2 - \delta^2 \sin^2 \beta} + \delta \cos \beta \\ \varepsilon_1'(\beta) &= \frac{\delta^2 \sin \beta \cos \beta}{\sqrt{r_0^2 - \delta^2 \sin^2 \beta}} - \delta \sin \beta \quad (a = r_0 + \delta) \end{aligned} \quad (3.2)$$

Распределение нормальных напряжений  $\sigma_z(r, \beta, 0)$  в плоскости  $z = 0$  упругого тела (без трещины), растягиваемого сосредоточенными силами  $P$  перпендикулярно к плоскости  $z = 0$ , определяется формулой

$$p(r, \beta) = \frac{P}{4\pi(1-\nu)} \frac{h}{(r^2 + h^2)^{3/2}} \left( \frac{3h^2}{r^2 + h^2} + 1 - 2\nu \right) \quad (3.3)$$

где  $2h$  — расстояние между точками приложения сил  $P$ .

Пользуясь формулами (1.6) и (3.3), после необходимых вычислений найдем

$$\begin{aligned} \Psi_*(a, \beta) &= P_* \Psi_0 = P_* \frac{1}{\pi^2(1-\nu)a} \left\{ \frac{1-\nu}{1+m^2} + \frac{m^2}{(1+m^2)^2} \right\} \\ \Psi'_*(a, \beta) &= P_* \Psi_1 = P_* \frac{2(2-\nu)m^4 - 6m^2 - 2(1-\nu)}{\pi^2 a^2 (1-\nu)(1+m^2)^3} \quad \left( m^2 = \frac{h^2}{a^2} \right) \end{aligned} \quad (3.4)$$

На основе равенств (3.2), (3.4) и уравнения (1.18) легко получаем формулу для определения предельных значений силы  $P_*$ . Эта формула имеет следующий вид:

$$P_*(\beta) = \frac{K \sqrt{2R(\beta)}}{\pi \{ \Psi_0 - 1/2\varepsilon_1(\beta) \Psi_1 + \Psi_0 I_1(\beta) \}} \quad (3.5)$$

где  $\Psi_0$  и  $\Psi_1$  определяются из равенств (3.4)

$$(3.6)$$

$$I_1(\beta) = \frac{\delta^2}{4\pi a r_0} \int_0^{2\pi} \frac{\sin \alpha \cos \alpha}{\sqrt{1 - \eta^2 \sin^2 \alpha}} \operatorname{ctg} \frac{\beta - \alpha}{2} d\alpha - \frac{\delta}{4\pi a} \int_0^{2\pi} \sin \alpha \operatorname{ctg} \frac{\beta - \alpha}{2} d\alpha \quad \left( \eta^2 = \frac{\delta^2}{r_0^2} \right)$$

Первый интеграл в (3.6) выражается через комбинацию полных эллиптических интегралов первого, второго и третьего рода, а второй интеграл

в этой формуле вычисляется элементарно. В частности, при  $\beta = 0$  из (3.6) найдем

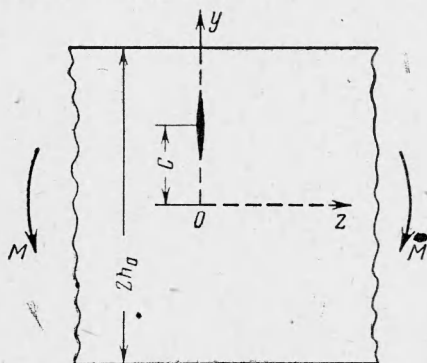
$$I_1(0) = \frac{r_0}{\pi a} [(1 - \eta^2) K(\eta) - E(\eta)] + \frac{\delta}{2a} \quad (3.7)$$

Пользуясь этим равенством, формулу (3.5) для точки  $A$  (фиг. 3) контура  $L_0$  можно преобразовать к виду

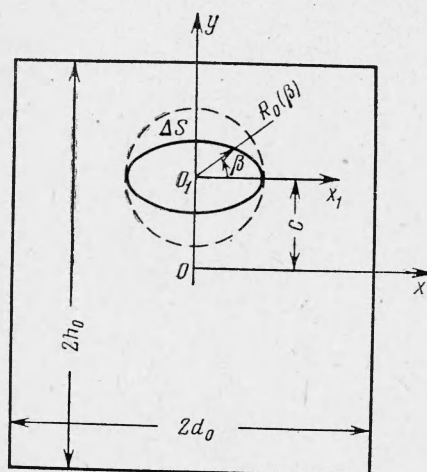
$$P_*^{(0)} = \frac{K \sqrt{2(r_0 - \delta)}}{\pi \{\psi_0 - \delta\psi_1 + \psi_0 I_1(0)\}} \quad (3.8)$$

Здесь  $\psi_0, \psi_1$  и  $I_1(0)$  определяются формулами (3.4) и (3.7).

Эта формула позволяет приближенно (с точностью до  $\delta/a$  включительно) определить предельное значение сосредоточенных сил  $P$  при эксцентричном растяжении хрупкого тела с круглой трещиной, когда расстояние  $\delta$  между линией действия сил  $P$  и центром контура круглой трещины мало по сравнению с радиусом  $a$  (фиг. 3).



Фиг. 4



Фиг. 5

§ 4. Чистый изгиб балки с плоской трещиной, имеющей в плане форму эллипса. Пусть бесконечно длинная упругая балка с поперечным сечением  $2h_0 \times 2d_0$  изгибается постоянными изгибающими моментами величины  $M$  (фиг. 4 и 5). Отнесем балку к прямоугольной системе декартовых координат  $Oxyz$  и будем считать, что ось  $z$  этой системы совпадает с осью балки, координатные оси  $x$  и  $y$  параллельны ее боковым граням, а изгибающие моменты  $M$  действуют в плоскостях, параллельных плоскости  $x = 0$ . Пусть далее в балке в зоне растягивающих напряжений содержится плоская трещина, имеющая в плане (плоскость  $z = 0$ ) форму эллипса (фиг. 5). Для такой задачи требуется определить предельное значение изгибающих моментов  $M = M_*$ .

В дальнейшем для упрощения вычислений будем считать, что эллиптическая трещина ориентирована так, как это показано на фиг. 5. В таком случае уравнение контура рассматриваемой трещины имеет вид

$$R_0(\beta) = \frac{b}{\sqrt{1 - k^2 \cos^2 \beta}} \quad \left( k^2 = \frac{a^2 - b^2}{a^2} \right) \quad (4.1)$$

где  $a, b$  — большая и меньшая полуоси эллиптической трещины, которые, вообще говоря, считаются малыми по сравнению с размерами ( $h_0, d_0$ ) поперечного сечения балки.

Кроме того, обозначим через  $c$  расстояние центра трещины от плоскости  $y = 0$  (фиг. 5) и будем считать  $c \geq a$ .

Для решения сформулированной задачи аналогично предыдущим примерам опишем около трещины в плоскости  $z = 0$  окружность радиусом  $a$  и вычислим функции  $\epsilon_0(\beta)$ ,  $\psi_*(a, \beta)$ ,  $\psi'_{*r}(a, \beta)$ . Функция  $\epsilon_0(\beta)$  в данном случае определяется формулой (2.3), а для определения функций  $\psi_*(a, \beta)$  и  $\psi'_{*r}(a, \beta)$  заметим, что для рассматриваемой задачи упругие напряжения  $\sigma_z(r, \beta, 0) = p(r, \beta)$  в балке без трещины выражаются формулой

$$p(r, \beta) = \frac{M}{I} (r \sin \beta + c) \quad (4.2)$$

где  $I = \frac{1}{3} h_0^3 d_0$  — момент инерции поперечного сечения балки относительно оси  $x$ .

Пользуясь выражением (4.2) и формулой (1.16), получим

$$\psi(r, \beta) = \frac{M}{\pi^2 I} \int_0^a \int_0^{2\pi} \frac{\sqrt{a^2 - \rho^2} (\rho \sin \alpha + c) \rho d\rho d\alpha}{r^2 + \rho^2 - 2r\rho \cos(\alpha - \beta)} + \sqrt{r^2 - a^2} p(r, \beta) \quad (4.3)$$

Для вычисления интегралов, входящих в эту формулу, заметим, что

$$\int_0^{2\pi} \frac{\sin n\alpha d\alpha}{r^2 + \rho^2 - 2r\rho \cos(\alpha - \beta)} = \frac{2\pi}{r^2 + \rho^2} \frac{(1 - \sqrt{1 - \mu^2})^n}{\mu^n \sqrt{1 - \mu^2}} \sin n\beta \quad (\rho < r)$$

$$\int_0^{2\pi} \frac{d\alpha}{r^2 + \rho^2 - 2r\rho \cos(\alpha - \beta)} = \frac{2\pi}{r^2 + \rho^2} \frac{1}{\sqrt{1 - \mu^2}} = \frac{2\pi}{r^2 - \rho^2} \quad \left(\mu = \frac{2r\rho}{r^2 + \rho^2}\right)$$

Пользуясь этими формулами и равенством (4.3), получим

$$\psi(r, \beta) = \frac{2M}{\pi I} \left\{ \frac{\sin \beta}{r} \int_0^a \frac{\sqrt{a^2 - \rho^2} \rho^3 d\rho}{r^2 - \rho^2} + c \int_0^a \frac{\sqrt{a^2 - \rho^2} \rho d\rho}{r^2 - \rho^2} \right\} + \sqrt{r^2 - a^2} p(r, \beta) \quad (r \geq a) \quad (4.4)$$

Вычислив интегралы, входящие в (4.4), и осуществив необходимые преобразования при  $r \rightarrow a$ , найдем

$$\psi_*(a, \beta) = \frac{2M_*}{\pi I} \left( \frac{2}{3} a^2 \sin \beta + ac \right), \quad \psi'_{*r}(a, \beta) = \frac{2M_*}{\pi I} (4a \sin \beta + 2c) \quad (4.5)$$

Подставив теперь в уравнение (1.18) значения  $\epsilon_0(\beta)$ ,  $\psi_*(a, \beta)$ ,  $\psi'_{*r}(a, \beta)$ , представленные для рассматриваемой задачи формулами (2.3), (4.5), получим для критических (предельных) значений изгибающего момента  $M = M_*$

$$M_*(\beta) = \frac{K \sqrt{2R_0(\beta)}}{\Lambda(\beta)} \quad (4.6)$$

Здесь

$$\Lambda(\beta) = \frac{2}{I} \left\{ \frac{2}{3} a^2 \sin \beta + ac - (2a \sin \beta + c) \left( a - \frac{b}{\sqrt{1 - k^2 \cos^2 \beta}} \right) + cI(\beta) + \frac{2}{3} a [aI_2(\beta) - b(1 - k^2)I_3(\beta)] \right\}$$

$$I_2(\beta) = \frac{1}{4\pi} \int_0^{2\pi} \cos \alpha \operatorname{ctg} \frac{\beta - \alpha}{2} d\alpha = \frac{1}{2} \sin \beta \quad (4.7)$$

$$I_3(\beta) = \frac{1}{4\pi} \int_0^{2\pi} \frac{\cos \alpha}{(1 - k^2 \cos^2 \alpha)^{3/2}} \operatorname{ctg} \frac{\beta - \alpha}{2} d\alpha$$



Интеграл  $I(\beta)$  определяется формулой (2.6).

Входящий в формулу (4.7) интеграл  $I_3(\beta)$  выражается через комбинацию полных эллиптических интегралов такой формулой:

$$I_3(\beta) = \frac{\sin \beta}{\pi(1-k^2 \cos^2 \beta)} \left\{ \frac{E(k)}{1-k^2} - \Pi(n, k) \right\}, \quad I_3\left(\frac{\pi}{2}\right) = \frac{E(k)}{\pi(1-k^2)}$$

Здесь обозначения те же, что и в (2.6).

Пользуясь этими формулами и формулой (4.6), вычислим значения  $M_*$  для точки  $A(1/2\pi)$  контура рассматриваемой трещины (фиг. 5). Для этого, полагая  $\beta = 1/2\pi$  в (4.6), найдем

$$M_*(\pi/2) = \frac{K\sqrt{2b}}{\Lambda(1/2\pi)} \quad (4.8)$$

где

$$\Lambda\left(\frac{\pi}{2}\right) = \frac{2}{I} \left\{ 2ab - a^2 + bc + \frac{b}{\pi} \left[ cK(k) - \left(c + \frac{2}{3}a\right)E(k) \right] \right\}$$

В том частном случае, когда контур рассматриваемой трещины (фиг. 5) является окружностью радиусом  $a$ , т. е., когда  $a = b$ , из формулы (4.8) легко получим

$$M_*(\pi/2) = \frac{3IK}{(2a+3c)\sqrt{2a}} \quad (a=b) \quad (4.9)$$

Пользуясь формулами (4.8) и (4.9), легко подсчитать в каждом конкретном случае предельное значение изгибающего момента  $M$  при чистом изгибе балки с внутренней трещиной, имеющей в плане (плоскость трещины) форму эллипса или круга (фиг. 5).

Институт машиноведения  
и автоматики АН УССР

Поступила 31 VII 1962

#### ЛИТЕРАТУРА

1. Баренблатт Г. И. Математическая теория равновесных трещин, образующихся при хрупком разрушении. ПМТФ, 1961, № 4.
2. Леонов М. Я. Элементы теории хрупкого разрушения. ПМТФ, 1961, № 3.
3. Баренблатт Г. И. О равновесных трещинах, образующихся при хрупком разрушении. ПММ, 1959, т. XXIII, вып. 3—5.
4. Леонов М. Я. и Чумак К. И. Тиск під штампом, близьким до кругового в плані. Прикладна механіка, АН УРСР, 1959, т. 5, вип. 2.
5. Панасюк В. В. Про поширення тріщини, яка в плані має форму, близьку до кругової. Доповіді АН УРСР, 1962, № 7.
6. Галин Л. А. Контактные задачи теории упругости. М., ГИТТЛ, 1953.
7. Леонов М. Я. Общая задача о давлении штампа на упругое полупространство. ПММ, 1953, т. XVII, вып. 1.
8. Панасюк В. В. Про одну просторову задачу теорії пружності для ізотропного тіла з еліптичною тріщиною. Прикладна механіка, АН УРСР, 1962, т. 6, вин. 3.